

北海道大学工学部 正員 ○三浦清一

〃 〃 北郷繁

〃 学生員 嶋城広勝

(1) まえがき

実際の地盤の多くは、砂と粘土の両成分を含んだ状態（混合土）である。そこで筆者らは、このような混合土を実験室内で準備し、混合土中の粘土含有率（R）や砂分粒径（平均粒径 D_{50} ）が混合土の土質工学的特性におよぼす影響を圧縮側について報告してきた。^{1) 2) 3) 4)} 今回は、さらに等方圧密非排水三軸伸張試験を行ない、混合土の非排水せん断挙動におよぼす応力経路の影響を検討した結果について報告する。

(2) 実験試料および方法

本実験に用いた試料は、前報⁴⁾のそれと同一である。つまり、粘土分として市販の蛭目粘土、砂分として混合土におよぼす砂分粒径の影響を明らかにするため、粒径の異なる3種類のグラスビーズ（GB-I, II, IV）を使用した。これらの粘土分と砂分を所定の乾燥重量比（R）で混合し、蒸留水を十分加えて1カ月以上養生させた。供試体作製法は前報⁴⁾と同じである。圧密圧力は2, 3, 4, 5 kg/cm²の4種類で、いずれも圧密開始前に1.0%のバックプレッシャーを与えた。伸張試験は、側圧0.1を一定にして、軸圧0.1を減少させる方法を行なった。また、端面摩擦除去のため、シリコングリースを塗布し、さらに切り込みを入れた厚さ0.2 mmのゴム膜を供試体上下端に置いた。

(3) 実験結果および考察

1) 応力-ヒズミ挙動について： 図-1に本実験から得られた応力-ヒズミ挙動におよぼすRの影響を示してあるが、圧縮側²⁾とはほぼ同様の傾向にある。しかし、R30においては、圧縮側と異なり、砂分粒径の大きさにかかわらず応力の再上昇傾向が認められ、15%軸ヒズミで初期ピーク値と同程度あるいはわずかに大きめの10a-0r'を示している。この再上昇現象は、圧縮側のR30-TD, IVで説明したグラスビーズ同志の粒子間摩擦力の動員⁴⁾と、圧縮・伸張でのダイレイタンシー挙動の相違がR30近くから顕著により始めた結果によるものと考えられる。また、R30混合土は、非常に不安定な構造骨格をもつた混合土であり、その挙動が非常にやるい砂のそれと類似していることを圧縮側において指摘したが、伸張側においてもこのような挙動が認められる。次に図示を省略したが、破壊時の間隙水圧係数A_fは、すべてのRに対して伸張側の方が圧縮側よりも大きな値を示しており、またRの減少に伴い、その差は大きくなっていく傾向にある。例えば、R30において伸張側で1.5~1.7、圧縮側で1.0~1.3を示している。A_fにおよぼす粒径の影響については、圧縮側と同様 $\log D_{50}$ の増加に伴って、ほぼ直線的に増加しており、それをRについて、直線の勾配は異なるが、この関係は満足されている。

2) 非排水せん断強度 S_u について： 圧密圧力0.1、非排水せん断強度 S_u および含水比 W_f との関係を混合土中の砂分粒径に応じて統一的に示したのが図-2である。このような関係は圧縮側についても同様に得られる。破壊曲面の形状は粒

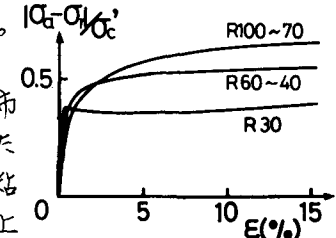
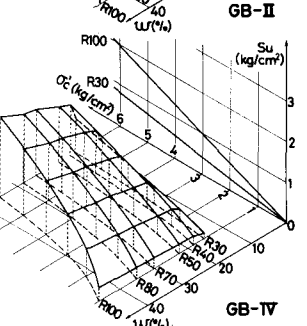
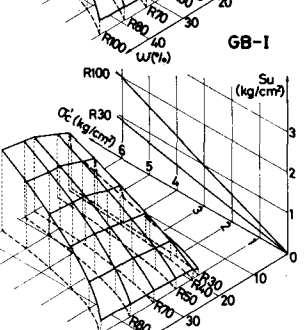
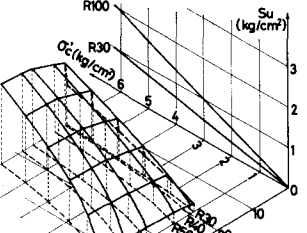


図-1 応力-ヒズミ挙動

図-2 σ_c , W_f と S_u の関係

径の違いによって異なることがあることが明らかである。つまり、同一の $(S_u/p)_E$ で比較すると、Rの低下に伴って S_u の低下が認められるが、この低下割合は混合土中の砂分粒径が大であるほど大きい。また、R100~30の間ににおけるWの分布は、粒径が大なほど広くなっている。このことは、混合土中の砂分が大きくなると、Rおよび σ'_c が同一であつても、その時のWは砂分粒径の違いによつて大きく異なることを意味している。つまり、混合土中の砂分粒径が異なると、同一の $(S_u/p)_E$ に対するあるRの S_u は違った値を与えることになる。

伸張側の S_u と圧密圧力 $\sigma'_c = p$ との比 $(S_u/p)_E$ とRの関係を図-3に示してある。Rの低下につれて $(S_u/p)_E$ の値は低下し、R30においてはR100の $(S_u/p)_E$ に比べかなり小さな値を示していることが認められる。つまり、R30混合土是非常に不安定な構造骨格をもつていることが、圧縮側と同様に推察されよう。次に、 $(S_u/p)_E$ 値におよぼす混合土中の砂分粒径の影響を検討するために、Rをパラメーターに $\log D_{50}$ に対して $(S_u/p)_E$ 値をプロットしたのが図-4である。圧縮側と同様、Rの値によらず、 $\log D_{50}$ の増加につれ、 $(S_u/p)_E$ 値が直線的に低下していることがわかる。また、各Rに対するこれらの直線の勾配は圧縮側のそれとほぼ平行関係にある。

一方、図-2の破壊曲面からRが同一であつても、混合土中の砂分粒径が異なれば、その粒径に応じて含水比は違つていて、そこで、同一含水比での S_u 値におよぼす粒径の影響を図-2を用いて検討してみる。例えば、 $\sigma'_c = 2.0 \text{ kN/cm}^2$ 、W=30%に対する S_u の値は、GB-I, II, IVに対して、それとされ0.627, 0.612, 0.570 (kN/cm^2)となり、混合土中の砂分粒径の影響が確認される。

次に、 $(S_u/p)_E$ と圧縮側の $(S_u/p)_C$ の関係を検討するため、各Rに対して $(S_u/p)_C / (S_u/p)_E$ をプロットしたのが図-5である。混合土中の砂分粒径の大きさによらず、R100~70の間では約1.0、R60から漸増してR30においては約1.7という値を示している。R0つまり砂のデータは、龍岡のやるい砂の非排水セン断試験より得られたものである。また、Rは塑性指数PIに対するが、LaddはPIに対して同様のプロットを行ない、本実験結果と同様の関係を報告している。

[あとがき]：本研究を実施するに際しては、本学卒業生 大久保幸雄、山田悟高君の協力に負うところが大きい。また、データ整理に関しては本学教官工藤豊君の協力を得た。記して深甚なる謝意を表する。

[参考文献]

- 1) 北郷他；土質工学会道支部、技術資料、pp.29~38, 1972
- 2) 北郷他；第29回土木学会年次講演会講演集、pp.400~401, 1974
- 3) 北郷他；第30回土木学会年次講演会講演集、pp.51~52, 1975
- 4) 三浦他；第11回土質工学研究発表会、pp.283~286, 1976
- 5) 龍岡；第20回土質工学シンポジウム、pp.61~70, 1975
- 6) C.C.Ladd : Proc. 8th ICSMFE, Vol. 4-2, pp.108~115, 1973

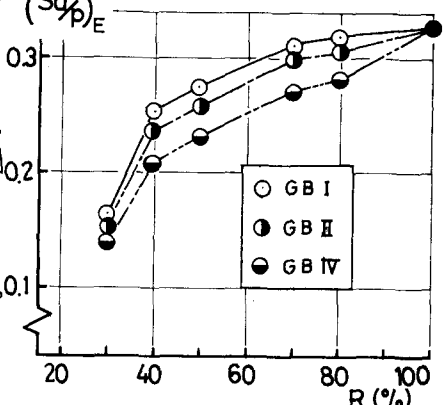


図-3 $(S_u/p)_E$ と R の関係

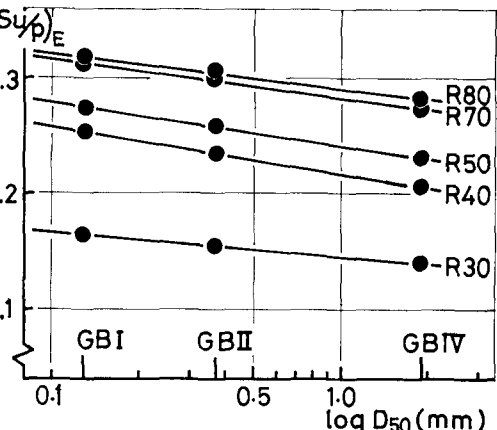


図-4 $(S_u/p)_E$ と $\log D_{50}$ の関係

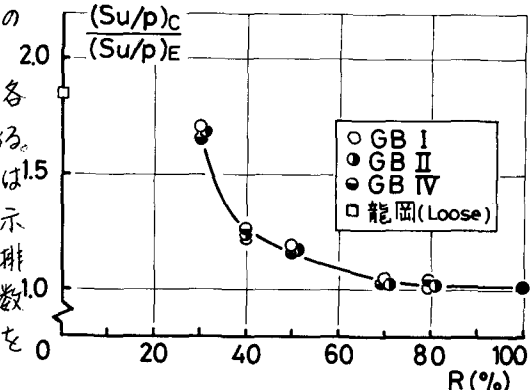


図-5 $(S_u/p)_C / (S_u/p)_E$ と R の関係

1) 北郷他；土質工学会道支部、技術資料、pp.29~38, 1972

2) 北郷他；第29回土木学会年次講演会講演集、pp.400~401, 1974

3) 北郷他；第30回土木学会年次講演会講演集、pp.51~52, 1975

4) 三浦他；第11回土質工学研究発表会、pp.283~286, 1976

5) 龍岡；第20回土質工学シンポジウム、pp.61~70, 1975

6) C.C.Ladd : Proc. 8th ICSMFE, Vol. 4-2, pp.108~115, 1973